

# Um algoritmo eficiente para um problema multiobjetivo de roteamento em rede de VANTs

Elias L. Marques Jr.<sup>1</sup>, Vitor N. Coelho<sup>2</sup>, Igor M. Coelho<sup>1</sup>, Bruno N. Coelho<sup>3</sup>,  
Luiz Satoru Ochi<sup>1</sup>

<sup>1</sup>Instituto de Computação – Universidade Federal Fluminense (UFF)  
Niterói – RJ – Brasil

<sup>2</sup>OptBlocks Consultoria Ltda.  
Avenida João Pinheiro, 274 Sala 201 – 30130-186 Belo Horizonte – MG – Brasil

<sup>3</sup>Departamento de Engenharia de Controle e Automação – UFOP  
35400-000 – Ouro Preto – MG – Brazil

eliaslawrence@id.uff.br,vncoelho@gmail.com,brunonazario@ufop.edu.br,{imcoelho,satoru}@ic.uff.br

**Abstract.** *This paper deals with Unmanned Aerial Vehicle (UAV) routing in dynamic grid scenarios with limited battery autonomy and multiple charging stations. The problem is inspired by real-world constraints, specially designed for overcoming challenges of a limited vehicle driving range. A multi-objective variant of Variable Neighborhood Search (VNS) is considered for finding a set of non-dominated solutions, while respecting the navigation over forbidden areas and also battery capacity. A case of study was developed where one UAV has to attend clients spread throughout a grid representing a map.*

**Resumo.** *Este artigo trata do roteamento de Veículos Aéreos Não Tripulados (VANT) em cenários dinâmicos de rede com autonomia de bateria limitada e múltiplas estações de carregamento. O problema é inspirado em restrições do mundo real, especialmente projetado para superar os desafios de um alcance limitado de condução de veículos. Considera-se uma variante multiobjetivo do Variable Neighborhood Search (VNS) para encontrar um conjunto de soluções não dominadas, respeitando a navegação em áreas proibidas e também a capacidade da bateria. Foi desenvolvido um caso de estudo onde um VANT deve atender clientes espalhados por uma rede representando um mapa.*

## 1. Introdução

Diferentes áreas de conhecimento incluindo o segmento de cidades e regiões inteligentes tem se beneficiado de inovações tecnológicas como a miniaturização de sistemas de controle eletrônico e a redução de custos de componentes eletrônicos [Floreano and Wood 2015] que resultaram em um aumento na disponibilidade de Veículos Aéreos Não Tripulados (VANTs), também conhecidos como Drones, ou Sistemas Aéreos Não Tripulados (UAS) .

Embora o drone seja frequentemente relacionado a entusiastas, entretenimento e indústria fotográfica, seu uso tem se multiplicado em aplicações militares, civis e comerciais. Vigilância aérea, reconhecimento e rastreamento de objetos são algumas das muitas

outras aplicações que estão surgindo com potencial para uso de VANTs. Inúmeros outros podem surgir da criatividade humana em um futuro próximo [Coelho et al. 2017]. Já existem alguns trabalhos que mostram aplicações na vida cotidiana incluindo por exemplo:

- Inspeção de infraestrutura [Metni and Hamel 2007], [Máthé and Buşoniu 2015], [Irizarry et al. 2012];
- Inspeção de Linha Elétrica [Adabo 2014], [Deng et al. 2014];
- A vigilância de um espaço alvo usando veículos aéreos é um tópico de interesse de pesquisa atual para aplicações como monitoramento do clima, levantamentos geográficos e talvez exploração extraterrestre [Nigam and Kroo 2008];
- A grande flexibilidade dos VANTs pode possibilitar novas abordagens durante a coleta de dados de sensoriamento remoto como, por exemplo, integrar o mapeamento em tempo real e navegação autônoma [Haala et al. 2011];
- O monitoramento ambiental [Harris et al. 2005].

O setor de transporte de cargas, em particular, já mostra interesse e investimentos em aplicações de VANTs. O crescimento do e-commerce tem sustentado esse interesse de grandes empresas. Os drones são capazes de decolar e pousar com segurança nas proximidades de prédios e humanos, melhorando a qualidade do serviço atual em áreas congestionadas ou remotas [Floreano and Wood 2015].

Quando se discute o serviço de entrega de mercadorias, estamos, implicitamente falando de um Problema de Roteamento de Veículos - VRP e suas variantes, por exemplo. O que significa brevemente um problema de projetar rotas ótimas de um ou vários depósitos para vários clientes ou pontos estratégicos geograficamente dispersos, sujeitos a restrições espaciais e temporais [Laporte 1992].

Embora existam muitos trabalhos na literatura relacionados às variações do VRP [Gutin and Punnen 2006], os que abordam o roteamento de VANTs ainda são poucos como o TSPD (Traveling Salesman Problem with Drone) [Agatz et al. 2018], o problema de roteamento de veículos com drones [Wang et al. 2017] e a abordagem VNS de Schermer et al. [Schermer et al. 2018].

No entanto, não podemos focar apenas nos avanços tecnológicos e simplesmente esquecer os danos ao meio ambiente que eles podem causar. É por isso que a comunidade científica tem se preocupado tanto com o desenvolvimento de tecnologias verdes e isso não difere na computação. O Green Vehicle Routing Problem (G-VRP), por exemplo, proposto por Erdoğan et al. [Erdoğan and Miller-Hooks 2012], adiciona ao VRP original, restrições sobre economia de combustível.

O TSP com seleção de hotéis [Vansteenwegen et al. 2012, de Sousa et al. 2021] é uma variação do TSP com semelhanças com o problema abordado neste artigo. O objetivo principal é minimizar o número de viagens e tempo total percorrido. Esse problema é encontrado em cenários reais como entrega de produtos por veículos elétricos que precisam ser recarregados ao longo de uma rota.

Para abordar aplicações reais complexas e muitas vezes dinâmicas, em muitos casos é necessário abordá-las como um problema multiobjetivo que forneça um conjunto de soluções não dominadas com diferentes rotas e itinerários possíveis. Quanto mais

funções objetivas e restrições, usualmente ficamos mais próximo aos modelos do mundo real, mas também mais complexo o problema se torna.

As principais contribuições deste trabalho atual são:

- Proposta de um novo algoritmo heurístico para o problema de roteamento de VANTs dependente do tempo [Coelho et al. 2017], e considerando as seguintes condições:
  - respeitando os requisitos operacionais dos VANTs;
  - abordando o microespaço aéreo considerando um cenário de inspeção de pontos, e evitando pontos proibidos (restrições de atracação) [Coelho et al. 2016];
  - integrando os VANTs aos novos conceitos de sistemas de mini/microrredes, nos quais os veículos podem ser carregados em diferentes pontos das futuras cidades inteligentes;
  - rotas dinâmicas considerando drones já em movimento: instâncias com bateria inicial diferente de 100%, ponto de origem aleatório e número de clientes já visitados.

O restante deste artigo está organizado da seguinte forma. A Seção 2 descreve o modelo proposto e o intervalo de parâmetros reais considerados em nossas análises, enquanto a Seção 3 contém a metodologia empregada para resolver o problema. Na Seção 4, encontram-se os experimentos computacionais comparando as diferentes implementações, instâncias, variáveis e resultados. Por fim, a Seção 5 conclui o trabalho e apresenta direções de pesquisas futuras.

## 2. Descrição do Problema

O caso de estudo aqui projetado é composto por um espaço aéreo dividido em faixas horizontais e verticais, onde o veículo pode se deslocar seguindo a distância de Chebyshev, onde as distâncias entre quaisquer pontos adjacentes são as mesmas. As estações de energia estão espalhadas na área de roteamento e acessadas pelo drone para recarregar suas baterias. Para representar áreas proibidas, a grade também é composta por pontos proibidos que o VANT não pode acessar, caso contrário invalidaria a rota.

Como problema de roteamento, o veículo deve atender clientes que estão espalhados pela rede. Para isso, o ponto correspondente ao cliente deve fazer parte da rota final. Isso significa que as coordenadas  $x$  e  $y$  do cliente devem fazer parte do array que representa a solução. Na Seção 3 discutimos uma alternativa para pré-processar distâncias mais curtas e armazená-las em estrutura de dados auxiliar, de modo que apenas os pontos de origem-destino e as distâncias precisam ser considerados entre os pontos de carga e entrega. No entanto, devido à natureza dinâmica do problema, pode ser necessário processá-los novamente, após ocorrerem alterações nos dados de entrada.

O trabalho atual considera que os dados dinâmicos são passados como entrada, de modo que nenhuma alteração precisa ser realizada durante a pesquisa. Como as instâncias já consideram a localização e a capacidade inicial arbitrária do drone (carga da bateria), uma variante dependente do tempo pode ser considerada como uma extensão deste trabalho (consulte a Seção 5).



**Velocidade no trecho:** influencia não apenas o tempo total do trajeto, mas também o consumo, pois quanto maior a velocidade ( $v$ ), maior o consumo. O nível de combustível/bateria no final do trecho ( $f$ ) é resultado do nível de combustível/bateria no início do trecho ( $f_0$ ) diminuído pelo consumo fixo ( $c_f$ ) e a velocidade multiplicada pelo coeficiente de consumo variável ( $c_v$ ) conforme mostrado na equação 1.

$$f = f_0 - v \times c_v - c_f \quad (1)$$

**Tempo na estação de :** o tempo gasto na estação de energia ( $r$ ) é somado ao tempo total gasto na rota. No entanto, se o veículo passar mais tempo nele, poderá acumular mais combustível/energia em sua bateria. O nível de combustível/bateria no final do trecho é resultado do nível de combustível/bateria no início do trecho aumentado pela quantidade de combustível/energia recarregada ( $f_r$ ) conforme mostrado na equação 2.

$$f = f_0 + f_r \quad (2)$$

A equação 3 mostra que o tempo no final do trecho ( $t$ ) é resultado do tempo no início do trecho ( $t_0$ ) acrescido da quantidade de combustível/energia recarregada multiplicada pelo coeficiente de tempo por combustível/energia ( $t_f$ ) conforme mostrado na equação 3.

$$t = t_0 + f_r \times t_f \quad (3)$$

### 3. Metodologia

A metaheurística GRASP com MOVND (G-MOVND) como busca local foi a escolhida para ser aplicada. Ela pode ser vista como uma metaheurística multi-start para problemas de otimização combinatória, em que cada iteração consiste basicamente em duas fases: construção e busca local.

#### 3.1. Construção

Nesta fase do algoritmo proposto, um critério guloso de escolher iterativamente o cliente mais próximo da real posição é utilizado, seguindo a filosofia da fase 1 o GRASP [Resende and Ribeiro 2019].

#### 3.2. Busca Local VND

Na busca local, utilizamos um algoritmo do tipo Variable Neighborhood Descent (VND), desenvolvido por N. Mladenović e E. Hansen [Mladenović and Hansen 1997] em 1997. Esta metaheurística funciona aplicando um método de busca local referente a uma estrutura de vizinhança para uma solução inicial  $x$ . Se a solução  $x'$  obtida for melhor que a anterior, atribuímos  $x'$  a  $x$  ( $x := x'$ ), e continuamos a busca com a estrutura de vizinhança atual; caso contrário, nós o alteramos.

A variante multiobjetivo do VND (MOVND) [Duarte et al. 2015] foi implementada com 7 estruturas de vizinhança. Diferentes vizinhanças afetam diferentes funções objetivo. Como estávamos lidando com um conjunto de soluções e não apenas uma única solução final desejada, não usamos apenas uma melhor que é modificada através

das iterações, mas um conjunto de soluções. Uma solução inicial é gerada pelo GRASP, que agora passa por buscas VND exaustivas, as soluções vizinhas obtidas são inseridas em um conjunto global de soluções se não forem dominadas.

As vizinhanças são apresentadas a seguir, na ordem de execução da metaheurística:

- Swap: Esta vizinhança é responsável por trocar as posições dos clientes na rota. Se a solução gerada não for dominada ou igual a qualquer outra rota no conjunto de soluções atual, a nova solução é adicionada a ele.
- Remove Ponto de Recarga: Esta vizinhança é responsável por remover possíveis pontos de recarga em cada subcaminho (caminho entre clientes) e verificar se melhora a solução atual. A ideia é que retirando esse trecho, o VANT chegaria ao final da rota em menos tempo. Encontramos um caminho que liga dois clientes ou a origem a um cliente e o removemos da rota. Depois, vinculamos diretamente os dois clientes. Dessa forma, se houvesse um ponto de recarga neste subcaminho, ele seria removido.
- Recarga mais próxima: Após removermos pontos de recarga desnecessários, tentamos adicionar outros que possam melhorar a solução atual.
- Remover Repetidos: Após todas as operações anteriores terem sido executadas na rota, podemos ter inserido clientes repetidos na rota. A ideia desta vizinhança é retirar os repetidos, tentando diminuir o tamanho da rota e, conseqüentemente, diminuir o consumo e/ou tempo.
- Aumento/Diminuição de Velocidade na Seção: Aumenta/diminui a velocidade em 1 unidade em cada trecho inteiro da rota que liga dois pontos importantes (clientes e/ou ponto de recarga).
- Aumento/Redução Aleatório(a) de Velocidade: Aumenta/reduz a velocidade em 1 unidade em cada segmento de um subcaminho escolhido aleatoriamente.
- Aumento/Redução Aleatório(a) da Recarga: Aumenta/reduz em 1 unidade a porcentagem de carga em cada ponto de recarga de um subcaminho escolhido aleatoriamente.

### **3.3. Critério de Aceitação**

Após gerar um vizinho da solução atual, a rota atual é avaliada e comparada com as rotas do conjunto de soluções. Será inserido se não for dominado por nenhum outro presente no conjunto de soluções. Se a nova rota dominar qualquer outra, esta última é removida do conjunto de soluções.

Neste caso de estudo, limitamos o tamanho do conjunto de soluções não dominadas, limitando, conseqüentemente, o número de operações (busca local). Se o conjunto estiver cheio e a nova rota não for dominada, ela só será inserida se houver uma solução no conjunto com resultado menor que a nova. Assim, a solução de entrada deve dominar, pelo menos, uma solução do conjunto atual.

### 3.4. Implementação VND

Para resolver o problema proposto gerando as rotas, diferentes versões de um algoritmo foram implementadas em C++. Foram implementadas quatro versões do método SWAP, por ser a vizinhança mais cara computacionalmente. As versões foram denominadas S1, S2, S3 e S4. O tamanho do conjunto de soluções também foi considerado como variável e diferentes testes foram feitos para verificar seu impacto nos resultados. Foram considerados os tamanhos 5, 15 e 30.

O MOVND foi a metaheurística escolhida, conforme abordado em sessões anteriores. No entanto, uma abordagem diferente também foi considerada. O MOVND original com um conjunto de soluções é conhecido por executar um loop para cada solução e dentro de um loop para cada vizinhança. Em nossa implementação atual, há uma inversão onde o loop externo percorre as vizinhanças e o interno percorre as soluções. Essa metaheurística foi denominada I-MOVND.

---

**Algorithm 1** I-MOVND

---

```
1: procedure I-MOVND( $E, Vizinhança$ )
2:   repeat
3:      $x \leftarrow Selecione(E \setminus S_i)$  ▷ Seleção entre os pontos não explorados
4:     for all  $k \in Vizinhança$  do
5:        $inserido \leftarrow verdadeiro$ 
6:       while  $inserido$  do
7:          $inserido \leftarrow false$ 
8:          $x' \leftarrow vizinho(x, k)$ 
9:         if MO-Improvement( $E, x, x'$ ) then
10:           $inserido \leftarrow falso$ 
11:           $E \leftarrow Atualiza(E, x')$ 
12:        end if
13:      end while
14:    end for
15:  until  $E \setminus S_i = \emptyset$ 
16:  return  $E$ 
17: end procedure
```

---

A atividade de calcular rotas pode ser muito custosa quando executada muitas vezes através do algoritmo. Para tanto, foi implementado um pré-processamento a fim de fazer comparações se trouxer ganhos aos resultados. O método consiste em pré-calculas as melhores rotas entre os pontos importantes do mapa (clientes, área proibida e pontos de recarga). As rotas são salvas e depois lidas como parte da entrada do problema.

Para resumir as diferentes implementações, cada amostra varia conforme:

- Instância
  - eil51A e eil51B: ambas com 51 clientes, 5% de pontos proibidos e 1% de pontos de recarga. A diferença entre elas se deve à posição dos pontos aleatórios proibidos e de recarga gerados.
  - eil101A e eil101B: igual ao anterior mas com 101 clientes.
- SWAP
  - S1: swap 1
  - S2: swap 2

- S2-3: swap 2 e 3
  - S2-4: swap 2 e 4
  - S4: swap 4
- Busca Local
  - MOVND
  - I-MOVND
- Pré-processamento
  - Sim
  - Não

#### 4. Experimentos computacionais

Como, pelo nosso conhecimento, não existe uma biblioteca de instâncias bem estabelecida para o problema abordado neste artigo, com todas as restrições aqui consideradas na literatura, foram criadas instâncias baseadas em duas bem conhecidas no formato 2D euclidiano foram usadas como base dos testes: Christofides/Eilon eil51 e eil101. Essas instâncias têm 51 e 101 clientes, respectivamente. A partir destas, foram gerados arrays representando a área que compreende todos os clientes, onde o valor de  $x$  varia do valor mínimo de  $x$  da instância ao máximo. O mesmo acontece com as coordenadas  $y$ .

Após a geração da matriz, os pontos nela contidos são escolhidos aleatoriamente e definidos como pontos de recarga e proibidos. Para fins de testes, foi estipulada uma taxa de 5% da matriz para pontos proibidos e 1% para pontos de recarga. Para cada instância, dois mapas diferentes foram gerados.

Cada amostra foi executada 5 vezes, cada uma por 5 minutos. Foi considerado o conjunto de soluções não dominadas de todas as 5 execuções em questão de resultados.

##### 4.1. Medidas de Comparação

Para comparar os resultados obtidos durante os experimentos, foram utilizadas três medidas referentes à qualidade das soluções: hipervolume, cobertura e cardinalidade.

De acordo com [Talbi 2009], hipervolume é um indicador associado a uma aproximação dada pelo volume da porção do espaço objetivo que é fracamente dominada por um conjunto. Este indicador necessita da especificação de um ponto de referência  $Z$  que denote um limite superior sobre todos os objetivos. Neste problema foram utilizadas funções objetivo normalizadas. Além disso, assegurou-se que quanto mais próximo de 1 melhor é a medida. O código do cálculo do hipervolume é fornecido por [Fonseca et al. 2006].

As outras medidas são a cobertura e a cardinalidade. Cobertura, a quantidade percentual de soluções geradas por um método específico que está na referência de Pareto. Por exemplo, se quisermos comparar os métodos A e B, executaríamos os dois métodos e, no final, reuniríamos as soluções de ambos os métodos e selecionaríamos os únicos não dominados. Neste conjunto de soluções final, temos 4 soluções do método A e 6 soluções do método B. Então, a cobertura de A é de 40% e 60% de B.

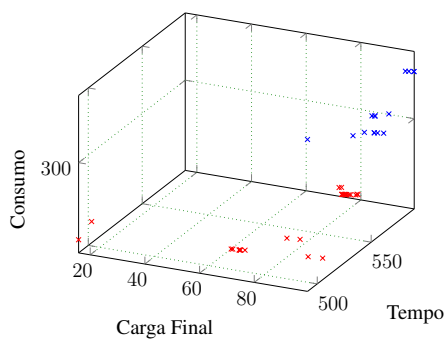
Cardinalidade é referente à quantidade absoluta.

## 4.2. Resultados Computacionais

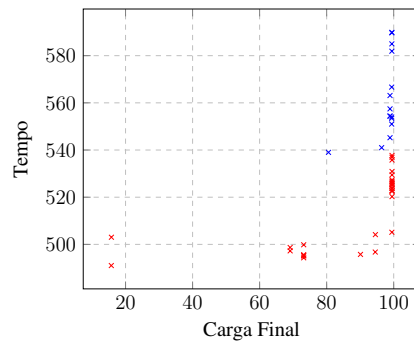
Os primeiros testes foram desenvolvidos para verificar os métodos que retornam os melhores resultados. Para tanto, foram utilizadas amostras com pré-processamento e conjunto de soluções de tamanho fixo de 30.

Os melhores resultados variaram entre S2-4 e S4 de VND e I-VND. Portanto, o próximo passo foi executar o algoritmo para avaliar como o tamanho do conjunto de soluções e o pré-processamento afetaram o resultado.

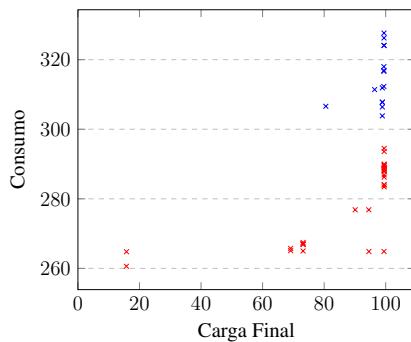
O pré-processamento resultou em melhores valores de hipervolume, cobertura e cardinalidade em quase todos os testes. Ou seja, o pré-cálculo de rotas gera um conjunto de soluções mais diversificado o que é um bom resultado quando se trata de um problema multiobjetivo. Em termos de tamanho máximo do conjunto, nas amostras com instância menor, quanto maior o conjunto de soluções, melhores os resultados. E com a instância maior, essa diferença não foi tão evidente, pois o tamanho da instância já ordena mais tempo computacional e um conjunto maior faz o mesmo.



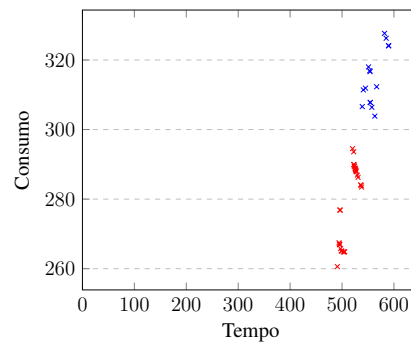
(a) Instância eil101 70% de bateria e 50% de clientes visitados.



(b) Carga Final x Tempo: VND-15 (azul) e VND-30 (vermelho)



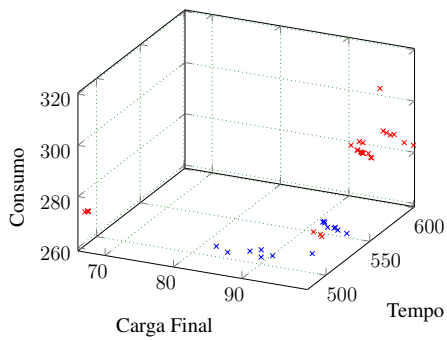
(c) Carga Final x Consumo: VND-15 (azul) e VND-30 (vermelho)



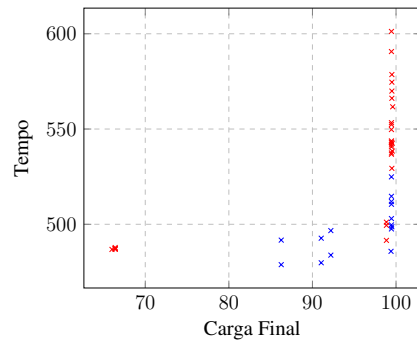
(d) Tempo x Consumo: VND-15 (azul) e VND-30 (vermelho)

**Figura 2. Frentes de Pareto da Instância eil101-70-50**

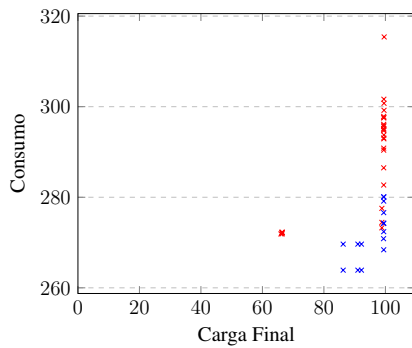
Nas Figuras 2 e 3 podemos ver as frentes de pareto geradas pela execução do algoritmo. Podemos inferir disso que o conjunto de soluções de tamanho 30 gera melhores resultados para instâncias maiores, enquanto o conjunto de tamanho máximo 15, gera melhores resultados com instâncias menores (menos pontos de inspeção/clientes), conjuntos menores.



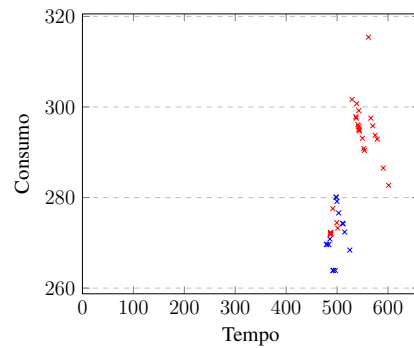
(a) Instância eil51 80% de bateria e 10% de clientes visitados.



(b) Carga Final x Tempo: VND-15 (azul) e VND-30 (vermelho)



(c) Carga Final x Consumo: VND-15 (azul) e VND-30 (vermelho)



(d) Tempo x Consumo: VND-15 (azul) e VND-30 (vermelho)

**Figura 3. Frentes de Pareto da Instância eil51-80-10**

## 5. Conclusões

A abordagem multiobjetivo e em grid, restrição de ancoragem, e a preocupação com o consumo (Green Computing) e o dinamismo deste problema mostram uma abordagem bastante prática, para aplicações reais. As instâncias consideraram posições iniciais arbitrárias de drones, e também capacidades iniciais variáveis de bateria, de modo que é possível integrar esta ferramenta em um solver online que resolva uma série de instâncias considerando mudanças nas características dinâmicas do cenário (devido às condições do vento, logística e outras restrições operacionais).

Este trabalho também mostra um potencial de crescimento aproximando-se cada vez mais de uma situação real. Assim, visualizamos trabalhos futuros levando em consideração mais camadas de rede representando o movimento vertical do drone. Além disso, um problema com drones heterogêneos e pontos proibidos temporários são algumas outras variáveis que podem ser exploradas em trabalhos futuros envolvendo esse problema.

## Agradecimentos

Vitor N. Coelho agradece à agência brasileira FAPERJ (E-26/202.868/2016). Luiz S. Ochi foi apoiado pela FAPERJ e CNPq (301593/2013-2), Igor M. Coelho pela FAPERJ. Este estudo foi financiado em parte pela Coordenação de Aperfeiçoamento de Pessoal de Nível Superior – Brasil (CAPES) - Código de Finanças 001.

## Referências

- Adabo, G. J. (2014). Long range unmanned aircraft system for power line inspection of brazilian electrical system. *Journal of Energy and Power Engineering*, 8(2).
- Agatz, N., Bouman, P., and Schmidt, M. (2018). Optimization approaches for the traveling salesman problem with drone. *Transportation Science*, 52(4):965–981.
- Coelho, B. N., Coelho, V. N., Coelho, I. M., Ochi, L. S., Zuidema, D., Lima, M. S., da Costa, A. R., et al. (2017). A multi-objective green uav routing problem. *Computers & Operations Research*, 88:306–315.
- Coelho, V. N., Grasas, A., Ramalhinho, H., Coelho, I. M., Souza, M. J., and Cruz, R. C. (2016). An ils-based algorithm to solve a large-scale real heterogeneous fleet vrp with multi-trips and docking constraints. *European Journal of Operational Research*, 250(2):367–376.
- de Sousa, M. M., González, P. H., Ochi, L. S., and de Lima Martins, S. (2021). A hybrid iterated local search heuristic for the traveling salesperson problem with hotel selection. *Computers & Operations Research*, 129:105229.
- Deng, C., Wang, S., Huang, Z., Tan, Z., and Liu, J. (2014). Unmanned aerial vehicles for power line inspection: A cooperative way in platforms and communications. *J. Commun*, 9(9):687–692.
- Duarte, A., Pantrigo, J. J., Pardo, E. G., and Mladenovic, N. (2015). Multi-objective variable neighborhood search: an application to combinatorial optimization problems. *Journal of Global Optimization*, 63(3):515–536.
- Erdoğan, S. and Miller-Hooks, E. (2012). A green vehicle routing problem. *Transportation Research Part E: Logistics and Transportation Review*, 48(1):100–114.
- Floreano, D. and Wood, R. J. (2015). Science, technology and the future of small autonomous drones. *Nature*, 521(7553):460.

- Fonseca, C. M., Paquete, L., and López-Ibáñez, M. (2006). An improved dimension-sweep algorithm for the hypervolume indicator. In *2006 IEEE international conference on evolutionary computation*, pages 1157–1163. IEEE.
- Gutin, G. and Punnen, A. P. (2006). *The traveling salesman problem and its variations*, volume 12. Springer Science & Business Media.
- Haala, N., Cramer, M., Weimer, F., and Trittler, M. (2011). Performance test on uav-based photogrammetric data collection. *Proceedings of the International Archives of the Photogrammetry, Remote Sensing and Spatial Information Sciences*, 38(1/C22):7–12.
- Harris, A., Sluss, J. J., Refai, H. H., and LoPresti, P. G. (2005). Alignment and tracking of a free-space optical communications link to a uav. In *Digital Avionics Systems Conference, 2005. DASC 2005. The 24th*, volume 1, pages 1–C. IEEE.
- Irizarry, J., Gheisari, M., and Walker, B. N. (2012). Usability assessment of drone technology as safety inspection tools. *Journal of Information Technology in Construction (ITcon)*, 17(12):194–212.
- Laporte, G. (1992). The vehicle routing problem: An overview of exact and approximate algorithms. *European journal of operational research*, 59(3):345–358.
- Máthé, K. and Buşoniu, L. (2015). Vision and control for uavs: A survey of general methods and of inexpensive platforms for infrastructure inspection. *Sensors*, 15(7):14887–14916.
- Metni, N. and Hamel, T. (2007). A uav for bridge inspection: Visual servoing control law with orientation limits. *Automation in construction*, 17(1):3–10.
- Mladenović, N. and Hansen, P. (1997). Variable neighborhood search. *Computers & operations research*, 24(11):1097–1100.
- Nigam, N. and Kroo, I. (2008). Persistent surveillance using multiple unmanned air vehicles. In *Aerospace Conference, 2008 IEEE*, pages 1–14. IEEE.
- Resende, M. G. and Ribeiro, C. C. (2019). Greedy randomized adaptive search procedures: Advances and extensions. In *Handbook of metaheuristics*, pages 169–220. Springer.
- Schermer, D., Moeini, M., and Wendt, O. (2018). A variable neighborhood search algorithm for solving the vehicle routing problem with drones. Technical report, Technical Report Technische Universität Kaiserslautern.
- Talbi, E.-G. (2009). *Metaheuristics: from design to implementation*, volume 74. John Wiley & Sons.
- Vansteenwegen, P., Souffriau, W., and Sörensen, K. (2012). The travelling salesperson problem with hotel selection. *Journal of the Operational Research Society*, 63(2):207–217.
- Wang, X., Poikonen, S., and Golden, B. (2017). The vehicle routing problem with drones: several worst-case results. *Optimization Letters*, 11(4):679–697.